

# カンドールモデルによる粒状体のせん断变形特性の解析

東北大工学部 学生員 ○佐藤 充宏  
同 正員 岸野 佑次  
同 学生員 荒木 一司

## 1. まえがき

近年、粒状体の内部で起つてゐる現象の観察からその内部応力や変形機構を解析するための手段として、計算機によるシミュレーション解析が注目されてきている。シミュレーション解析は、従来行なわれてきた光弹性材料による試験に比べて条件を任意に設定して結果を出すことが容易であり、豊富な情報を得ることができるという利点がある。本文は、一つのシミュレーション手法である Cundall と Strack の考案したモデルにより<sup>1)</sup>、粒状体の単純せん断試験のシミュレーション解析を行ひ、その結果に基いてせん断を受ける粒状体の変形機構についての考察を行つたものである。

## 2. 解析方法

図-1 は Cundall モデルの粒子間の接触機構を示したものである。本方法は、領域内のすべての粒子を質点とする多自由度振動方程式を微少時間ごとに逐次演算で解くことによって粒子の挙動を解析しようとするものである。

解析の対象としたモデルは、図-3 の様な 3 種類の粒径 ( $1.2 \text{ cm}$ ,  $1.6 \text{ cm}$ ,  $2.0 \text{ cm}$ ) の円粒子の集合体 (総粒子数 143, 重量比 1:1:1, 粒子密度  $\rho = 2.70 \text{ g/cm}^3$ ) である。あらかじめ固定壁で囲まれた領域内に粒子が重ならないように人為的に配置し、次に壁を固定したまま粒子を重力の作用で自由落下させた後、左右との壁に  $P = 2.0 \times 10^6 \text{ dyne/cm}^2$  の拘束圧を加えて圧縮し安定した状態を初期状態とした。解析に用いたとく他の定数は、法線、接線方向のばね定数がともに  $K_n = 1.0 \times 10^7 \text{ dyne/cm}$ ,  $K_s = 5.0 \times 10^6 \text{ dyne/cm}$  であり、粘性係数は Rayleigh 減衰を用いて  $C_n = \beta \cdot K_n$ ,  $C_s = \beta \cdot K_s$  で  $\beta = 3.0 \times 10^{-4} \text{ sec}$  とした。逐次演算に用いるステップ毎の微少時間増分は  $\Delta t = 1.0 \times 10^{-4} \text{ sec}$  とした。載荷方法は、拘束圧を一定に保ったまま左右の壁を  $0.1 \text{ rad/sec}$  の角速度で回転し、同一の粒子集合体に対して粒子間摩擦角 (以下単に摩擦角といふ) を  $\phi = 20^\circ$ ,  $30^\circ$ ,  $40^\circ$  と変化させて解析を行つた。

## 3. 結果及び考察

図-2 は各摩擦角に対する応力比へせん断歪へダイレイタンシー関係を示す。摩擦角が大きいほど、応力比の最大値は大きな値をとり、ダイレイタンシーの増加の割合も大きくなつてゐることがわかる。初期隙隙比は  $\phi = 20^\circ$  で 0.206,  $\phi = 30^\circ, 40^\circ$  が共に 0.215 であった。いづれの場合も応力比に明瞭なピークは見られず、平坦なグラフとなつてゐる。また、負のダイレイタンシーは殆んど見られない。摩擦角中によるダイレイタンシー増加の割合の違いは、端部などにおける空隙生成の起り易さに対応していふものと考えられる。Cundall モデルによる二軸圧縮試験のシミュレーション解析<sup>2)</sup>では、主応力比の増加と共にダイレイタンシーが減少しこうだが、この違いはせん断試験では粒子数が少ないと粒子配列の不均一性が生じ易く、体積が増加し易いこ

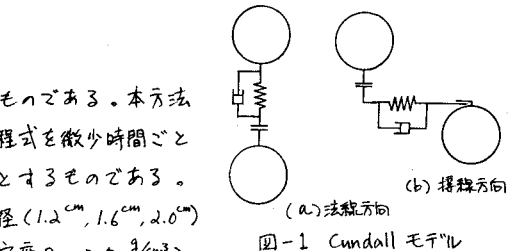


図-1 Cundall モデル

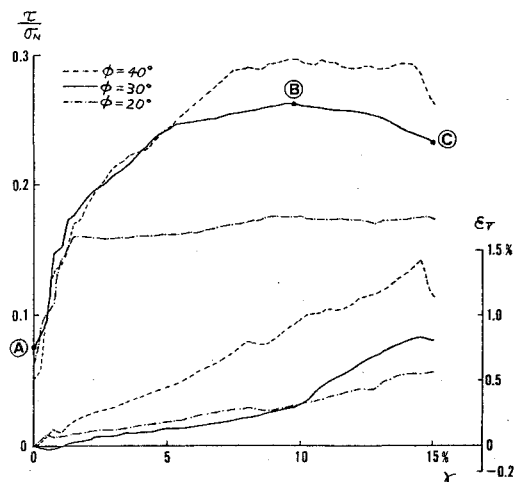


図-2 応力比へせん断歪へダイレイタンシー関係

とに起因していふるものと考えられる。

図-3は図-2中の④～⑥( $\phi=30^\circ$ )における各粒子に作用する接触力の大きさとその方向を示す。ピーク時には最大主応力の

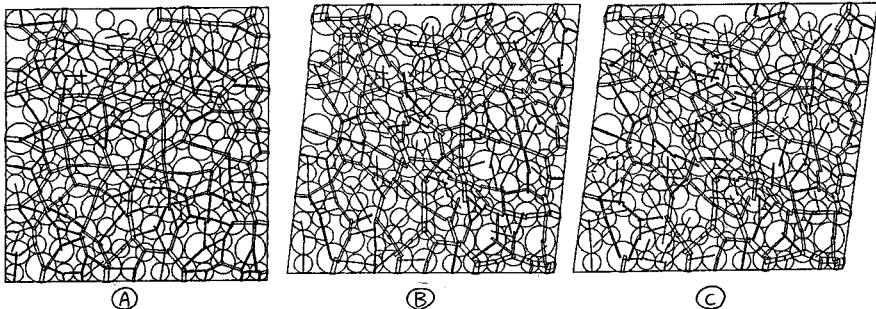


図-3 粒子間の接觸力

方向附近に比較的大きな接觸力が分布しているが、ピーク後もそれが保持されていて粒子配列の急激な変化は見られない。これは応力比の急激な低下が見られない事に対応していふと考えられる。

図-4はピーク時の有効接觸角分布である。初期状態と比較すれば、接觸角は応力比の増加とともに最大主応力方向の前後に集中する傾向が見られるが、光弾性実験の結果<sup>3)</sup>ほど顕著ではない。接觸角の分布において摩擦角の違いによる差は特に見られないが、ピーク後において摩擦角が小さいほど分布は均一になる傾向が見られる。

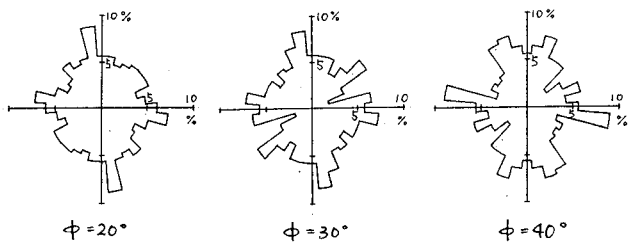


図-4 有効接觸角分布

図-5はde Jongの方法<sup>4)</sup>により求めた応カデンツールの主軸の方向の変化と、粒子の変位から統計的に求めた有限歪の歪増分テンソルの主軸の方向の変化を示す。一定のステップ数毎の歪増分を計算していふために、歪増分主軸の変化は滑らかでないが、 $\phi = 20^\circ, 30^\circ, 40^\circ$ のいずれの場合も応力主軸と歪増分主軸の間には共軸性がほぼ成立していふと考えられる。 $\phi = 20^\circ$ の場合が他よりも曲線の起伏が小さいのは、粒子間の摩擦力が小さく、粒子の移動が円滑に起るためであると考えられる。なお、剛体壁の変位から求めた歪増分の主軸と応力主軸との間にはこのような共軸性は見られない。

#### 4. あとがき

本文では、Cundallモデルを用いて粒状体の単純せん断試験のシミュレーションを行い、変形機構について考察した。粒子数が少ない場合には、端面の影響が現れる傾向が強く、注意を要するが、このような解析は粒状体の変形機構の解析を行う上で、一つの有用な方法であると思われる。

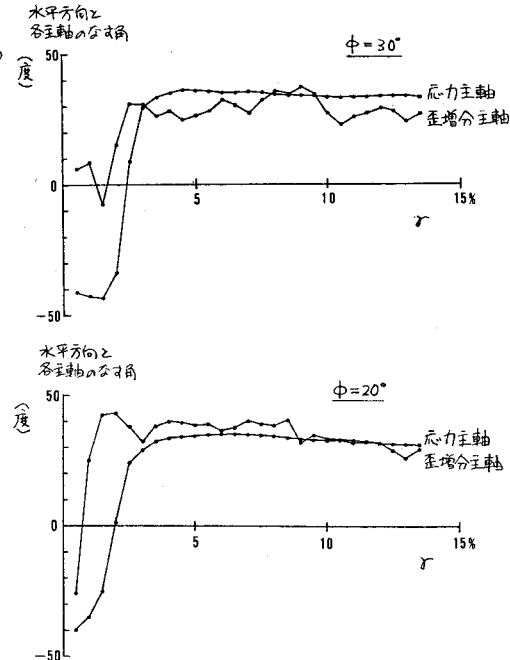


図-5 応力主軸及び歪増分主軸の変化

- 参考文献
- 1) P.A. Cundall & O.D.L. Strack : Geotechnique, 29 (1979), 47~65
  - 2) 荒木・佐武・岸野 : 第40回国際概要集Ⅲ(1985), 915~916
  - 3) 熊坂・佐武・新間 : 昭和56年度東北支部発表会概要集(1982), 220~221
  - 4) A. Drescher & G. de Josselin de Jong : J. Mech. Phys. Solids, 29 (1972), 337~351
  - 5) 岸野 : 第33回国際概要集Ⅳ(1978), 10~11